

2. Dinâmica Quântica

1. Evolução Temporal e a Equação de Schrödinger - Vamos postular
a existência de um operador $U(t, t_0)$ que, quando aplicado à um
ket no instante t_0 resulte no ket representando o estado do sistema no
instante t :

$$|\alpha, t_0\rangle = |\alpha\rangle \longrightarrow |\alpha, t; t\rangle = U(t, t_0)|\alpha, t_0\rangle$$

Propriedades de U

1) Unitariedade: $U^\dagger U = UU^\dagger = I$ para preservar norma:
 $\langle \alpha, t_0 | \alpha, t; t \rangle = \langle \alpha, t_0 | U^\dagger U |\alpha, t_0 \rangle = \langle \alpha, t_0 | \alpha, t_0 \rangle$

Expansão: $|\alpha, t_0\rangle$ e $|\alpha, t; t\rangle$ em uma base tensorial

$$|\alpha, t_0\rangle = \sum_{\alpha'} c_{\alpha'}(t_0) |\alpha'\rangle \rightarrow \sum_{\alpha'} |c_{\alpha'}(t_0)|^2 = 1$$

$$|\alpha, t; t\rangle = \sum_{\alpha'} c_{\alpha'}(t) |\alpha'\rangle \rightarrow \sum_{\alpha'} |c_{\alpha'}(t)|^2 = 1$$

2) Composição: $U(t_2, t_0) = U(t_2, t_1)U(t_1, t_0)$ ($t_2 > t_1 > t_0$)

3) Evolução infinitesimal: $|\alpha, t; t_0 + dt\rangle = U(t_0, t_0 + dt)|\alpha, t_0\rangle$

dever satisfazer $\lim_{dt \rightarrow 0} U(t_0, t_0 + dt) = 1 \Rightarrow$

$$U(t_0, t_0 + dt) = 1 - i\Omega dt \quad \text{com } \Omega^+ = \Omega$$

para que U seja unitário.

Isso f.b. garante a composição infinitesimal

Vemos que Ω tem dimensão de $1/t$, ou de ω . Como
os geradores da evolução infinitesimal na Mec. Clássica é o hamiltoniano,
natural escrever $\Omega = H/\hbar$ se lembrarmos que $\omega = E/\hbar$:

$$F(q, \dot{q}) = q \dot{P} + H(q, \dot{P}) dt$$

$$P = \frac{\partial F}{\partial \dot{q}} = \dot{P} + \frac{\partial H}{\partial q} dt \approx \dot{P} - \dot{P} dt \rightarrow \dot{P} = P + \dot{P} dt = P(1+dt)$$

$$Q = \frac{\partial F}{\partial \dot{q}} = q + \frac{\partial H}{\partial \dot{P}} dt \approx q + \dot{q} dt \approx q(1+dt)$$

$$U(t_0+dt, t_0) = 1 - \frac{iHdt}{\hbar}$$

onde $H = H(\omega) \Rightarrow H$ depende
do tempo

A equação de Schrödinger e soluções formais: Usando a regra de

composição linear

$$U(t+dt, t_0) = U(t+dt, t) U(t, t_0) = \left(1 - \frac{i(H+\dot{H})dt}{\hbar}\right) U(t, t_0)$$

$$\frac{U(t+dt, t_0) - U(t, t_0)}{dt} = -\frac{i}{\hbar} H(t) U(t, t_0) \quad \text{ou}$$

$$i\hbar \frac{\partial U}{\partial t} = HU$$

Poderíamos escrever $|q, t_0; t\rangle = U(t, t_0)|q\rangle$, o que leva à

$$i\hbar \frac{\partial}{\partial t} |q, t_0; t\rangle = i\hbar \frac{\partial U(t, t_0)}{\partial t} |q\rangle = HU(t, t_0)|q\rangle$$

$$= H|q, t_0; t\rangle$$

que dá diretriz a evolução do ket.

Soluções:

I) H independente do tempo

$$U(t, \omega) = e^{-\frac{iH}{\hbar}(t-t_0)} = \lim_{N \rightarrow \infty} \left(1 - \frac{iH}{\hbar}\epsilon\right)^N \quad \epsilon = \frac{t-t_0}{N}$$

Exemplo: $H = \omega S_z$

Exemplo: $H = \vec{\mu} \cdot \vec{B}$

II) H dependente do tempo com $[H(t_0), H(t_2)] = 0$

com $\vec{B} = B_0 \omega \sin t \hat{z} \Rightarrow H = \omega \omega \sin t S_z$. Nesse caso

$$U(t, \omega) = e^{-\frac{i}{\hbar} \int_{t_0}^t H(t') dt'} = 1 - \frac{i}{\hbar} \int_{t_0}^t H(t') dt' + \left(\frac{-i}{\hbar}\right)^2 \frac{1}{2!} \left(\int_{t_0}^t H(t') dt' \right)^2 + \dots$$

Prova:

$$\begin{aligned} \frac{dU}{dt} &= -\frac{iH(t)}{\hbar} + \left(\frac{-i}{\hbar}\right)^2 H(t) \int_{t_0}^t H(t') dt' + \dots \\ &= -\frac{i}{\hbar} H(t) \left[1 - \frac{i}{\hbar} \int_{t_0}^t H(t') dt' + \dots \right] = -\frac{i}{\hbar} H(t) U(t, \omega) . \end{aligned}$$

III) H dependente do tempo com $[H(t_i), H(t_h)] \neq 0$, Exemplo:

$H = \vec{\mu} \cdot \vec{B}$ com $\vec{B} = B_0 x \hat{x} \omega \sin t + B_0 y \hat{y} \sin^3 t \Rightarrow H = w_x S_x \cos \omega t + w_y S_y \sin \omega t$. Nesse caso

em $t=0$ $H = w_x S_x$ em $t = \pi/2\omega$ $H = w_y S_y$.

$$U(t, \omega) = 1 + \sum_{n=1}^{\infty} \left(\frac{-i}{\hbar}\right)^n \int_{t_0}^t dt_1 \int_{t_0}^{t_1} dt_2 \dots \int_{t_0}^{t_{n-1}} dt_n H(t_1) H(t_2) \dots H(t_n)$$

= Série de Dyson.

Prova: $U = \left(1 - \frac{iH(t_0+(N-1)\epsilon)}{\hbar}\epsilon\right) \left(1 - \frac{iH(t_0+(N-2)\epsilon)}{\hbar}\epsilon\right) \dots \left(1 - \frac{iH(t_0+\epsilon)}{\hbar}\epsilon\right) \left(1 - \frac{iH(t_0)}{\hbar}\epsilon\right)$

$$\epsilon = \frac{t-t_0}{N} \quad t_k = t_0 + k\epsilon$$

$$\begin{aligned}
 U &= 1 - \frac{i}{k} \int_{t_0}^t H(t_1) U(t_1, t_0) dt_1 \\
 &= 1 - \frac{i}{k} \int_{t_0}^t H(t_1) + \left(\frac{i}{k}\right)^2 \int_{t_0}^t H(t_1) \int_{t_0}^{t_1} H(t_2) U(t_2, t_0) dt_2 dt_1
 \end{aligned}$$

$$U = 1 + [\text{termo com } 1 H] + [\text{termo com } 2 H] + \dots [\text{termo com } NH]$$

$$= 1 - \frac{i}{\hbar} \left[H(t_{N-1}) + H(t_{N-2}) + \dots + H(t_1) + H(t_0) \right] e^{-i\frac{Ht}{\hbar}} +$$

$$\left(\frac{-i}{\hbar} \right)^2 \left\{ H(t_{N-1}) [H(t_{N-2}) + \dots + H(t_1) + H(t_0)] + H(t_{N-2}) [H(t_{N-3}) + \dots + H(t_1) + H(t_0)] + \dots + H(t_1) H(t_0) \right\}$$

$$= 1 - \frac{i}{\hbar} \int_{t_0}^t A(t_1) dt_1 + \left(\frac{i}{\hbar} \right)^2 \left[\int_{t_0}^t H(t_1) \int_{t_0}^{t_1} H(t_2) dt_2 dt_1 \right] + \dots$$

EIGENKETS - Em geral os auto-estados de H são degenerados e precisamos de outras operadores que commutam com H para rotular cada estado individualmente. Sejam A, B, \dots esses operadores que commutam entre si e com H . e $|k'\rangle = |a' b', E'\rangle$ os kets simultâneos com

$$\sum_{k'} |k'\rangle \langle k'| = 1$$

Então, para H , independente do tempo e $t_0 = 0$,

$$e^{-iHt/\hbar} = \sum_{k'} e^{-iE't/\hbar} |k'\rangle \langle k'| e^{iE't/\hbar}$$

$$|k', t\rangle = e^{-iHt/\hbar} |k'\rangle = e^{-iE't/\hbar} |k'\rangle$$

↑
invariancia → faze permanente

Para um estado $|k\rangle$ gênerico

$$|\alpha\rangle = \sum_{k'} c_{k'} |k'\rangle$$

$$|\alpha, t\rangle = \sum_{k'} c_{k'} e^{-iE't/\hbar} |k'\rangle = \sum_{k'} c_{k'}(t) |k'\rangle$$

$$\text{com } c_{k'}(t) = e^{-iE't/\hbar} c_{k'}(0)$$

DEPENDÊNCIA TEMPORAL DE VALORES ESPERADOS

(A) Para um estado $|k\rangle$ é um operador o qual quer

$$\langle 0 \rangle = \langle k' | e^{iE't/\hbar} | 0 \rangle e^{-iE't/\hbar} | k' \rangle = \langle k' | 0 | k' \rangle$$

= independente do tempo

$\Rightarrow |k'\rangle$ são ditos estados estacionários

(B) Para $|\alpha\rangle = \sum c_{k'} |k'\rangle$

$$\begin{aligned} \langle 0 \rangle &= \sum_{k', k''} c_{k'}^* c_{k''} \langle k' | e^{iE't/\hbar} | 0 \rangle e^{-iE't/\hbar} | k'' \rangle \\ &= \sum_{k' | k''} c_{k'}^* c_{k''} \langle k' | 0 | k'' \rangle e^{-i\omega_{kk''} t} \end{aligned}$$

$$\omega_{kk''} = \frac{E' - E''}{\hbar} = \begin{array}{l} \text{frequência de Bohr} \\ = \text{independente do operador } 0. \end{array}$$

Exemplo: Precessão do spin

- Considerar um spin

sujeito a um campo magnético constante:

$$H = -\vec{\mu} \cdot \vec{B}$$

$$\vec{\mu} = \frac{e}{mc} \vec{S} \quad ; \quad \vec{B} \equiv B_0 \hat{z}$$

$$H = \omega S_z \quad \text{and} \quad \omega = \frac{-eB_0}{mc} = \frac{|e|B_0}{mc} ; e < 0$$

$$U(t, 0) = e^{-\frac{i\omega S_z t}{\hbar}} \quad ; \quad H | \pm \rangle = \pm \frac{\hbar \omega}{2} | \pm \rangle$$

ρ_{MM} $| \alpha \rangle = | + \rangle + | - \rangle$

$$| \alpha, 0; t \rangle = | + e^{-\frac{i\omega t}{2}} \rangle + | - e^{-\frac{i\omega t}{2}} \rangle$$

(A) Se $c_+ = 1$, $c_- = 0$ $| \alpha, 0; t \rangle = e^{-\frac{i\omega t}{2}} | + \rangle =$ estado estacionário

(B) Se $c_+ = c_- = \frac{1}{\sqrt{2}}$ $| \alpha \rangle = | S_x, + \rangle$ não é um est. estacionário
A probabilidade de um medida de S_x resultar $\pm \hbar/2$ é:

$$|\langle S_x \pm | \alpha, 0; t \rangle|^2 = \left| \frac{1}{\sqrt{2}} [c_+ \pm c_-] \left[e^{\frac{-i\omega t}{2}} | + \rangle + e^{\frac{i\omega t}{2}} | - \rangle \right] \frac{1}{\sqrt{2}} \right|^2$$

$$= \left| \frac{1}{2} \left[e^{\frac{-i\omega t}{2}} \pm e^{\frac{i\omega t}{2}} \right] \right|^2 = \begin{cases} \cos^2 \frac{\omega t}{2} & \text{p/ } +\hbar/2 \\ \sin^2 \frac{\omega t}{2} & \text{p/ } -\hbar/2 \end{cases}$$

Exercício: calcular

$$\langle S_z \rangle = 0$$

$$\langle S_y \rangle = \frac{\hbar}{2} \sin \omega t$$

$$\langle S_x \rangle = \frac{\hbar}{2} \cos \omega t$$

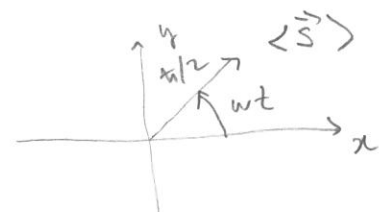


IMAGEM clássica
DA PRECESSÃO.

FUNÇÃO DE AUTO-CORRELAÇÃO e PRINC. INCERTEZA

ENERGIA-TEMPO

$$C(t) \equiv \langle \alpha | \alpha, 0; t \rangle = \langle \alpha | U(t, 0) | \alpha \rangle$$

Expanding $|\alpha\rangle$ nos auto-estados de H :

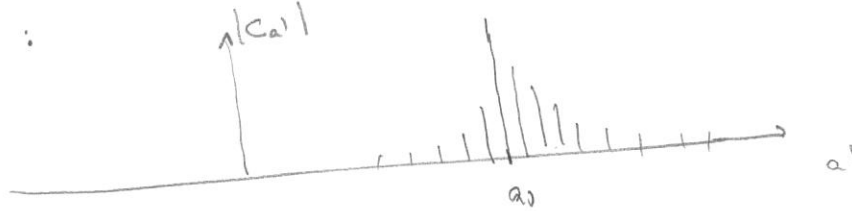
$$|\alpha\rangle = \sum_{\alpha'} c_{\alpha'} |\alpha'\rangle \quad H|\alpha'\rangle = E_{\alpha'} |\alpha'\rangle$$

$$U(t, 0) |\alpha\rangle = \sum_{\alpha'} e^{-iE_{\alpha'} t/\hbar} c_{\alpha'} |\alpha'\rangle$$

$$C(t) = \sum_{\alpha'} |c_{\alpha'}|^2 e^{-iE_{\alpha'} t/\hbar} \quad \text{com} \quad \sum_{\alpha'} |c_{\alpha'}|^2 = 1$$

Se $|\alpha\rangle = |\alpha'\rangle$ $C(t) = e^{-iE_{\alpha'} t/\hbar}$, $|C(t)| = 1$. Para outras

$C(t)$ em geral vamos supor que os $c_{\alpha'}$ estão concentrados em formas
 ↓ variando E_0 :



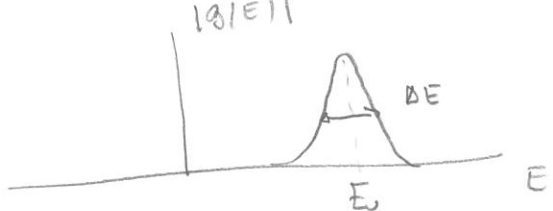
Vamos ainda formar o limite do contínuo fazendo

$$\sum_{\alpha'} \rightarrow \int dE g(E) \quad \left. \right\} |\alpha\rangle = \int g(E) |E\rangle dE$$

$$c_{\alpha'} \rightarrow g(E)$$

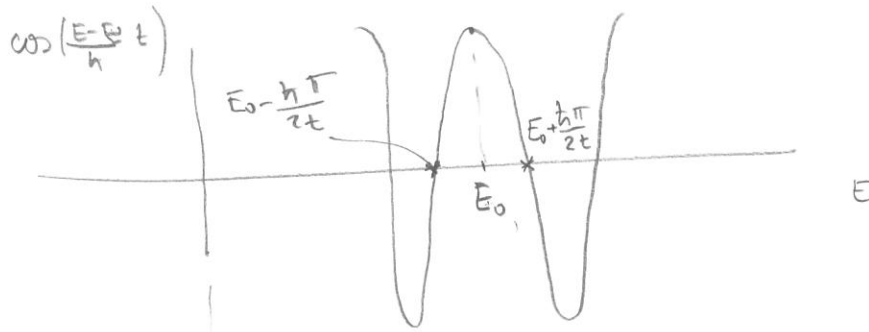
$$C(t) = \int g(E) |g(E)|^2 e^{-iEt/\hbar} dE \quad \text{com}$$

$$\int g(E) |g(E)|^2 dE = 1$$



Poderemos então escrever

$$C(t) = e^{-i(E-E_0)t/\hbar} \int g(E) |g(E)\rangle^* e^{-\frac{i(E-E_0)t}{\hbar}} dE$$



Se $\Delta E \gg \frac{\hbar\pi}{t}$ as oscilações do wavefunction na Eq. 1 integrar

\Rightarrow se ΔE fixo pelo método 1a) $\propto t \gg \frac{\hbar\pi}{\Delta E}$ $C(t) \rightarrow 0$

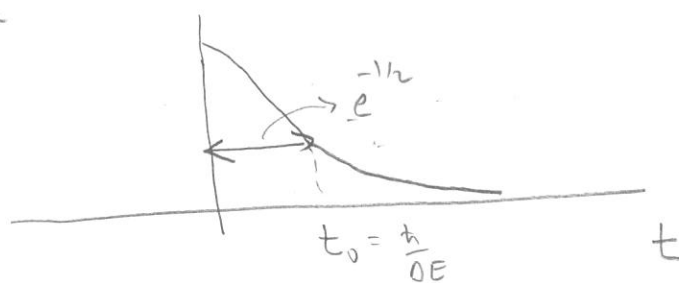
A integral tem significativa sólida $t \sim \frac{\hbar\pi}{\Delta E}$ onde verifica-se

$$t \Delta E \sim \hbar$$

$$\text{Para } t \sim \frac{\hbar\pi}{\Delta E} \text{ temos } g(E) = 1 \quad |g(E)\rangle^* = \frac{1}{\sqrt{2\pi}\Delta E} e^{-\frac{(E-E_0)^2}{2\Delta E^2}}$$

$$\frac{1}{\sqrt{2\pi}\Delta E} \int e^{-\frac{(E-E_0)^2}{2\Delta E^2}} - i \frac{(E-E_0)t}{\hbar} dE = \frac{1}{\sqrt{2\pi}\Delta E} \int e^{-\frac{1}{2\Delta E^2}(x + i \frac{t(E-E_0)}{\hbar})^2} - \frac{t^2 \Delta E^2}{2\hbar^2} dx$$

$$= e^{-\frac{\Delta E^2 t^2}{2\hbar^2}}$$



A interpretação de t_0 é que é o tempo

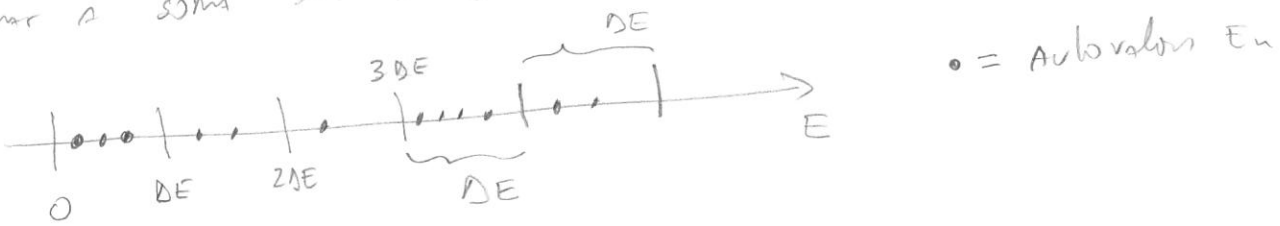
o tempo necessário para que o estado propagado difira significativamente do estado inicial. Quanto mais próximos o estado final é um anti-estado, i.e. quanto menor ΔE , maior será esse tempo.

(41a)

O limite dos contínuos feitos na página 40 pode ser feito da seguinte forma: começar com

$$|\alpha\rangle = \sum_n c_n |E_n\rangle ; \quad H |E_n\rangle = E_n |E_n\rangle .$$

Os Autovalores E_n distribuem-se de maneira irregular sobre o eixo E e queremos fazer uma partition regular, de largura ΔE para transformar a soma em integral:



Na integral $\int_{-\infty}^{\infty} f(\epsilon) d\epsilon$ assumindo que os c_n tem o mesmo valor no intervalo ΔE (regras) temos que $c_n \Delta E$ é constante no intervalo ΔE ; $E_k = k\Delta E$

$$\text{valor: } c_n = C(E_k) \quad \text{p/ } (k-1)\Delta E < E_n < k\Delta E ; \quad E_k = k\Delta E$$

Seja $N(E_k) = \text{número de Autovalores no } k\text{-ésimo intervalo } E_k$.

Então,

$$|\alpha\rangle = \sum_n c_n |E_n\rangle = \sum_k C(E_k) \frac{N(E_k)}{\Delta E} |E_k\rangle \Delta E$$

i.e., reorganizamos a soma sobre o E_n em uma soma sobre intervalos de medida fixa ΔE . No limite $\Delta E \rightarrow 0$

$$|\alpha\rangle = \int C(E) g(E) |E\rangle dE \quad \text{onde } g(E) = \lim_{\Delta E \rightarrow 0} \frac{N(E_k)}{\Delta E}$$

é a densidade de níveis (n^2 de níveis por intervalo de medida).

2.2 - As descrições de Schrödinger e Heisenberg

Na mecânica clássica o estado de uma partícula é dado por $x(t)$ e $p(t)$.

No mecanismo quântico aparecem estados $|\alpha\rangle$ e operadores X, P, H , etc.

Na descrição de Schrödinger os estados evoluem mas os operadores não:

$$|\alpha\rangle \rightarrow |\alpha, 0; t\rangle = U(t, 0)|\alpha\rangle$$

$$X \rightarrow X ; \quad P \rightarrow P ; \quad \text{etc.}$$

A descrição de Heisenberg opta pelo oposto: o estado do sistema é sempre $|\alpha\rangle$, mas os operadores carregam a dependência temporal, quase como na Mec. clássica.

A ideia é a seguinte: dada $|\alpha\rangle$, $|P\rangle$ e X podemos calcular

$$\langle \alpha, 0; t | X | P, 0; t \rangle = \langle \alpha | U^\dagger(t, 0) X U(t, 0) | P \rangle \\ \equiv \langle \alpha | X^H(t) | P \rangle$$

$$\text{onde } X^H(t) = U^\dagger X U = e^{\frac{iHt}{\hbar}} \times e^{-iHt/\hbar}$$

Exemplo: Seja $T(dx) = 1 - \frac{i(P \cdot dx)}{\hbar}$ o operador de translação. Vamos usar T ao invés de U para exemplificar o operador.

Schrödinger: $|\alpha\rangle \rightarrow \left(1 - \frac{i(P \cdot dx)}{\hbar}\right) |\alpha\rangle$

$$x \rightarrow *$$

HEISENBERG

$$|\alpha\rangle \rightarrow |\alpha\rangle$$

$$* \rightarrow \overline{T}^+ * T = \left(1 + \frac{i(P \cdot dx)}{\hbar}\right) * \left(1 - \frac{i(P \cdot dx)}{\hbar}\right) \\ = * + \frac{i}{\hbar} [P \cdot dx, *] = * + dx *$$

EQUAÇÕES DE movimento

$$A^H(t) = U^+ A U \quad ; \quad A^H(0) = A^S$$

$$|\alpha, 0; t\rangle_S = U(t, 0)|\alpha\rangle = U|\alpha\rangle_H \quad ; \quad |\alpha, 0; 0\rangle_S = |\alpha\rangle_H$$

$$\frac{dA^H}{dt} = \frac{dU^+}{dt} A U + U^+ A \frac{dU}{dt} \quad \Rightarrow \quad A \text{ NÃO depende do tempo}$$

Como $i\hbar \frac{\partial U}{\partial t} = AU$, $-i\hbar \frac{\partial U^+}{\partial t} = U^+ H$

$$\begin{aligned} \frac{dA^H}{dt} &= \frac{i}{\hbar} U^+ i\hbar A U - \frac{i}{\hbar} U^+ A H U = \frac{i}{\hbar} \left[U^+ H U U^+ A U - U^+ A U U^+ H U \right] \\ &= \frac{i}{\hbar} [H, A^H] = \frac{i}{\hbar} [H, A^H] = \frac{1}{i\hbar} [A^H, H] \\ &= \frac{1}{i\hbar} [A, H]^H \end{aligned}$$

TEOREM DE EHRENFEST

VAMOS primeiramente demonstrar que os resultados são:

$$[x_i, F(p)] = i\hbar \frac{\partial F}{\partial p_i}$$

$$[p_i, G(x)] = -i\hbar \frac{\partial G}{\partial x_i}$$

Prova . Escrevendo $F(p) = \sum C_{kem} p_1^k p_2^l p_3^m$

$$[x_1, F(p)] = \sum C_{kem} [x_1, p_1^k] p_2^l p_3^m$$

$$[x_1, p_1^k] = ik$$

$$[x_1, p_1^2] = p_1 [x_1, p_1] + [x_1, p_1] p_1 = 2i\hbar p_1$$

$$[x_1, p_1^3] = p_1 \underbrace{[x_1, p_1^2]}_{2i\hbar p_1} + \underbrace{[x_1, p_1] p_1^2}_{i\hbar} = 3i\hbar p_1$$

$$[x_1, F(p)] = \sum_{k,l,m} k i \hbar C_{k l m} p_1^{k-1} p_2^l p_3^m = i \hbar \frac{\partial F}{\partial p_1}$$

A demonstração para as outras componentes é idêntica, e o mesmo procedimento se aplica p' o segundo componente.

A) Partícula livre

$$H = \frac{1}{2m} (p_x^2 + p_y^2 + p_z^2)$$

$$\begin{cases} \frac{d x_i^H}{dt} = \frac{1}{i\hbar} [x_i^H, H] = \frac{1}{i\hbar} U^\dagger [x_i, H] U = \frac{1}{i\hbar m} U^\dagger p_i U i \hbar \\ \frac{d p_i^H}{dt} = \frac{1}{i\hbar} [p_i^H, H] = \frac{1}{i\hbar} [p_i, H] = 0 \end{cases}$$

$$\Rightarrow p_i^H(t) = p_i(0) = p_i^s$$

$$\frac{d x_i^H}{dt} = \frac{p_i}{m} \rightarrow x_i^H(t) = x_i(0) + \frac{p_i(0)}{m} t$$

$$\text{Veja que } [x_i^H(t), x_j^H(t)] = \frac{t}{m} [p_i, x_i] = -\frac{i\hbar t}{m} \neq 0$$

B) Partícula em um potencial

$$H = \frac{p^2}{2m} + V(x)$$

Primeiramente notamos que a equação de movimento pode ser escrita como

$$\frac{d A^{(H)}}{dt} = \frac{1}{i\hbar} [U^\dagger A U U^\dagger H U - U^\dagger H U U^\dagger A U] = \frac{1}{i\hbar} [A, H]^{(H)}$$

Poderemos então omitir o índice (i) em todos e colocá-lo no final

$$\frac{d p_i}{dt} = \frac{1}{i\hbar} [p_i, H] = \frac{1}{i\hbar} [p_i, V(H)] = -\frac{\partial V}{\partial x_i}$$

$$\frac{d x_i}{dt} = \frac{1}{i\hbar} [x_i, H] = \frac{1}{i\hbar} [x_i, \frac{p^2}{2m}] = \frac{p_i}{m}$$

ou assim da,

$$\frac{d^2 x_i}{dt^2} = \frac{1}{m} \frac{dp_i}{dt} = -\frac{1}{m} \frac{\partial V}{\partial x_i} =$$

$$m \frac{d^2 x_i}{dt^2} = -\frac{\partial V}{\partial x_i}$$

Tomando valores médios chegamos ao Teorema de Ehrenfest:

$$m \frac{d^2 \langle x \rangle}{dt^2} = -\langle \nabla V \rangle$$

Esse teorema NÃO diz que o valor médio de x segue a trajetória clássica. Para $V(x) = x^k$ ($1-D$) teremos

$$m \frac{d^2 \langle x \rangle}{dt^2} = -k \langle x^{k-1} \rangle \neq -k \langle x \rangle^{k-1}$$

A NÃO ser que $k=2$, que é o caso de oscilação harmônica.

AUTO ESTADOS

Um ponto que geralmente traz alguma confusão na representação de Heisenberg é que, apesar do estado do sistema não mudar com o tempo, os autoestados de um operador mudam, pois o próprio operador muda!

Partimos de

$$A|\alpha'\rangle = \alpha' |\alpha\rangle$$

por f.b. vale o Heisenberg em $t=0$. Como $A^{(H)} = U^+ A U$ podemos multiplicar a esquerda por U^+ :

$$U^+ A U U^+ |\alpha'\rangle = A^{(H)} [U^+ |\alpha'\rangle] = \alpha' [U^+ |\alpha'\rangle]$$

\Rightarrow temos o mesmo resultado mas os auto-estados evoluem com U^+ !

Dado um estado do sistema $|\alpha\rangle$ perguntamos qual a probabilidade

de medir o em $|\beta'\rangle$, auto-estado de B no instante t:

SCHRÖDINGER

$$|\alpha\rangle \rightarrow U|\alpha\rangle$$

$$|\beta'\rangle \rightarrow |\beta'\rangle$$

$$P = |\langle \beta' | U | \alpha \rangle|^2$$

HEISENBERG

$$|\alpha\rangle \rightarrow |\alpha\rangle$$

$$|\beta'\rangle \rightarrow U^+ |\beta'\rangle$$

$$\beta = |\langle \beta' | U | \alpha \rangle|^2$$

ou seja, as descrições fornecem resultados idênticos.

$$H = \frac{p^2}{2m} + \frac{mw^2x^2}{2}$$

$$a = \sqrt{\frac{mw}{2\hbar}} \left(x + \frac{ip}{mw} \right) \quad a^\dagger = \sqrt{\frac{mw}{2\hbar}} \left(x - \frac{ip}{mw} \right)$$

$$[a, a^\dagger] = \frac{mw}{2\hbar} \left[x + \frac{ip}{mw}, x - \frac{ip}{mw} \right] = \frac{mw}{2\hbar} \left\{ -\frac{i}{mw} [x, p] + \frac{i}{mw} [p, x] \right\} = 1$$

$$a^\dagger a = \frac{mw}{2\hbar} \left\{ x^2 + \frac{p^2}{m^2 w^2} + \frac{i}{mw} [x, p] \right\} = \frac{1}{\hbar w} \left[\frac{p^2}{2m} + \frac{mw^2 x^2}{2} - \frac{\hbar w}{2} \right]$$

$$H = \hbar w (a^\dagger a + 1/2) \equiv \hbar w (N + 1/2)$$

AUTORESSES: $\downarrow H = \text{arbitrário} \downarrow N = 1n \rangle$

$$H |1n\rangle = \hbar w (n + 1/2) |1n\rangle$$

É fácil mostrar que

$$[N, a] = -a \rightarrow$$

$$N |1n\rangle = (n-1) a |1n\rangle \rightarrow a |1n\rangle = c |1n-1\rangle$$

$$[N, a^\dagger] = a^\dagger \rightarrow$$

$$N |1n\rangle = (n+1) a^\dagger |1n\rangle \rightarrow a^\dagger |1n\rangle = d |1n+1\rangle$$

Supondo que os $|1n\rangle$ são normalizados temos que

$$\langle n | a^\dagger a | n \rangle = |c|^2 \langle n-1 | n-1 \rangle = n$$

DAQUI VEM TAMBÉM
que $n \geq 0$

$$\langle n | a^\dagger a^\dagger | n \rangle = |d|^2 \langle n+1 | n+1 \rangle$$

$$\langle n | a^\dagger a + 1 | n \rangle = |d|^2$$

$$n+1 = |d|^2 \rightarrow |d| = \sqrt{n+1}$$

$$|n-1\rangle = \frac{1}{\sqrt{n}} a |n\rangle$$

$$|n+1\rangle = \frac{1}{\sqrt{n+1}} a^\dagger |n\rangle$$

Como $a(n) = \sqrt{n} |n\rangle$ que tem subvalores $n=1, 2, \dots$
 Aplicação sucessiva de a pode gerar subvalores negativos, o que
 não é permitido para $n > 0$. Então n deve ser inteiro p/
 que $a(0) = 0$ e a série termina. Assim

$$E_n = \hbar\omega(n+1/2)$$

$$|1\rangle = a^+ |0\rangle$$

$$|2\rangle = \frac{a^+}{\sqrt{2}} |1\rangle = \frac{a^{+2}}{\sqrt{2}} |0\rangle$$

$$|n\rangle = \frac{a^{+n}}{\sqrt{n!}} |0\rangle$$

O estado fundamental pode ser calculado na representação $|x\rangle$:

$$0 = \langle n' | a | 0 \rangle = \langle n' | \left(x + \frac{iP}{mw} \right) | 0 \rangle = \left(n' + \frac{\hbar}{mw} \frac{\partial}{\partial x'} \right) \langle n' | 0 \rangle$$

$$\langle n' | 0 \rangle = A e^{-\frac{x'^2}{2}}$$

$$\frac{\hbar}{mw} \frac{\partial}{\partial x'} \langle n' | 0 \rangle = \frac{2\hbar\alpha n'}{mw} \langle n' | 0 \rangle \Rightarrow n' + \frac{2\hbar\alpha n'}{mw} = 0$$

$$\boxed{\alpha = -\frac{mw}{2\hbar}}$$

$$1 = \int_{-\infty}^{+\infty} |\langle x' | 0 \rangle|^2 dx' = |A|^2 \int_{-\infty}^{+\infty} e^{-\frac{mw x'^2}{2\hbar}} dx' = |A|^2 \sqrt{\frac{\pi\hbar}{mw}}$$

$$\langle x' | 0 \rangle = \left(\frac{mw}{\pi\hbar} \right)^{\frac{1}{4}} e^{-\frac{mw x'^2}{2\hbar}}$$

Os estados excitados são obtidos pela aplicação sucessiva de a^+ :

$$\langle x^l | n \rangle = \frac{1}{\sqrt{n!}} \left(\frac{mw}{2\hbar} \right)^{n/2} \left(\frac{mw}{\pi\hbar} \right)^{n/4} \left(x + \frac{\hbar}{mw\partial x} \right)^n e^{-\frac{mwx^2}{2\hbar}}$$

Ejercicios Física, Física → estados fundamentales

$$\langle x \rangle = \langle p \rangle = 0$$

$$\langle x^2 \rangle = \frac{\hbar}{2mw} \rightarrow \langle \frac{mw^2 x^2}{2} \rangle = \frac{\hbar w}{4} = \frac{1}{2} \langle H \rangle$$

$$\langle p^2 \rangle = \frac{\hbar mw}{2} \rightarrow \langle \frac{p^2}{2m} \rangle = \frac{\hbar w}{4} = \frac{1}{2} \langle H \rangle$$

$$\langle \Delta x^2 \rangle \langle \Delta p^2 \rangle = \frac{\hbar^2}{4}$$

EVOLUCIÓN TEMPORAL

As equações de mov. & Heisenberg são

$$\frac{dx}{dt} = \frac{i}{\hbar} [x, H] = \frac{1}{i\hbar} \frac{1}{2m} [x, p^2] = p/m$$

$$\frac{dp}{dt} = -mw^2 x$$

Em termos de a e a^\dagger as equações desacoplam:

$$\frac{da}{dt} = \sqrt{\frac{mw}{2\hbar}} \left(\frac{dx}{dt} + \frac{i}{mw} \frac{dp}{dt} \right) = \sqrt{\frac{mw}{2\hbar}} \left(\frac{p}{m} + iw^2 x \right) = -iw a$$

$$\frac{da^\dagger}{dt} = iw a$$

As soluções são

$$a(t) = a(0) e^{-iwt}$$

$$a^\dagger(t) = a^\dagger(0) e^{iwt}$$

Invertendo as relações de a e a[†] obtemos

$$a + a^\dagger = \sqrt{\frac{2mw}{h}} x \rightarrow x = \sqrt{\frac{h}{2mw}} (a + a^\dagger)$$

$$a - a^\dagger = \frac{1}{mw} \sqrt{\frac{2mw}{h}} i p \rightarrow p = i \sqrt{\frac{h m w}{2}} (a^\dagger - a)$$

$$x(t) = \sqrt{\frac{h}{2mw}} \left[a(0) e^{-i\omega t} + a^\dagger(0) e^{i\omega t} \right] = \sqrt{\frac{h}{2mw}} (a(0) e^{i\omega t} + a^\dagger(0)) \cos \omega t \\ + \sqrt{\frac{h}{2mw}} (-a(0) + a^\dagger(0)) i \sin \omega t$$

$$\begin{cases} x(t) = x(0) \cos \omega t + \frac{p(0)}{mw} \sin \omega t \\ p(t) = -mw x(0) \sin \omega t + p(0) \cos \omega t \end{cases}$$

$$x(t) = e^{\frac{iHt}{\hbar}} x(0) e^{-iHt/\hbar}$$

Exercício :

Obtenha $x(t)$ a partir de $x(t) = e^{\frac{iHt}{\hbar}} x(0) e^{-iHt/\hbar}$.

Exercício : Estarão verificados os osc. harmônicos se definir como

multiplos de a:

$$a|z\rangle = z|z\rangle$$

$$(A) Mostre que |z\rangle = e^{-|z|^2/2} e^{za^\dagger} |0\rangle$$

$$\text{Escrevendo } |z\rangle = \sum_n c_n(z) |n\rangle$$

$$a|z\rangle = \sum_n c_n \sqrt{n} |n-1\rangle \equiv z|z\rangle$$

$$\Rightarrow c_n \sqrt{n} = z c_{n-1} \rightarrow c_n = \frac{z}{\sqrt{n}} c_{n-1}$$

$$\text{Dado } c_0 \text{ temos } c_1 = z c_0; c_2 = \frac{z}{\sqrt{2}} c_1 = \frac{z^2}{\sqrt{2}} c_0 \dots$$

$$c_n = \frac{z^n}{\sqrt{n!}} c_0$$

$$|z\rangle = \sum \frac{z^n c_0}{\sqrt{n!}} |n\rangle = c_0 \sum_n \frac{z^n a^{+n}}{n!} |0\rangle$$

$$|z\rangle = c_0 e^{\frac{za^+}{\hbar}} |0\rangle$$

$$\langle z|z\rangle \equiv 1 = |c_0|^2 \sum_{n,m} \frac{z^m z^n}{\sqrt{n! m!}} \langle m|n\rangle = |c_0|^2 \sum_n \frac{|z|^n}{n!} = |c_0|^2 e^{-|z|^2/\hbar}$$

$$\Rightarrow |c_0| = e$$

$$(B) \text{ calculate } |z; t\rangle \quad \text{pl} \quad H = \hbar \omega (a^\dagger a + 1/2)$$

$$\begin{aligned} e^{-iHt/\hbar} |z\rangle &= e^{-iHt/\hbar} \sum_n \frac{z^n}{\sqrt{n!}} c_0 |n\rangle = \sum_n \frac{z^n c_0 e^{-i\omega t n}}{\sqrt{n!}} \\ &= \sum_n \frac{(ze^{-i\omega t})^n}{\sqrt{n!}} c_0 |n\rangle e^{-i\omega t n} \\ &= |ze^{-i\omega t}\rangle e^{-i\omega t/\hbar} \end{aligned}$$

$$(C) \text{ Moshn que } \langle z_1 | z_2 \rangle = e^{z_1^* z_2 - \frac{|z_1|^2}{2} - \frac{|z_2|^2}{2}}$$

(Vögl pg. 73)

2.4 A equação de onda de Schrödinger

A função de onda $\Psi(x, t) = \langle x | \alpha, t; t \rangle$ satisfaz uma eq. diferencial que pode ser deduzida a partir da equação dinâmica geral

$$i\hbar \frac{d|\alpha\rangle}{dt} = H|\alpha\rangle .$$

Para

$$H = \frac{p^2}{2m} + V(x) \quad \text{vemos que}$$

$$\langle x' | \frac{p^2}{2m} |\alpha\rangle = -\frac{\hbar^2}{2m} \nabla^2 \Psi$$

$$\langle x' | V(x) |\alpha\rangle = V(x') \Psi$$

$$\langle x' | \frac{d}{dt} |\alpha\rangle = \frac{\partial}{\partial t} \langle x' | \alpha \rangle = \frac{\partial \Psi}{\partial t}$$

de forma que

$$\boxed{i\hbar \frac{\partial \Psi}{\partial t} = -\frac{\hbar^2}{2m} \nabla^2 \Psi + V \Psi}$$

(usaremos agora x em vez de x' , pois não há mais operadores).

ESTADOS ESTACIONÁRIOS

$$\text{Nesse caso } |\alpha, 0; t\rangle = e^{-iE't/\hbar} |\alpha\rangle$$

$$\text{onde } H|\alpha\rangle = E|\alpha\rangle \rightarrow |\alpha\rangle \equiv |M_E\rangle$$

$$\begin{aligned} \text{A função de onda é } \Psi(x, t) &= \langle x | e^{-iEt/\hbar} | M_E \rangle \\ &= M_E(x) e^{-iEt/\hbar} \end{aligned}$$

e a equação para $M_E(x)$ é:

$$\boxed{-\frac{\hbar^2}{2m} \nabla^2 M_E + V(x) M_E = E M_E}$$

Eq. Schr. Ind. Temp

O aluno deve estar familiarizado com essa equação de Schrödinger e com a maneira pela qual a quantização dos níveis de energia segue da imposição de condições de contorno sobre $M_E(x)$ no caso de movimentos limitados.

O aluno deve ser capaz de resolver os seguintes problemas:

- potencial degrau (1-D)
- barreira de potencial oposta (1-D)
- poço de potencial quando finito e infinito (1-D)
- oscilações harmônicas (1-D)
- átomo de Hidrogênio (3-D)

INTERPRETAÇÃO DA FUNÇÃO DE ONDA: módulo e fase

Como $\Psi(x,t) = \langle x | \alpha(t); t \rangle$,

$p(x,t) = |\Psi(x,t)|^2$ = densidade de probabilidade de se encontrar a partícula em x

Escrevendo

$$i\hbar \frac{\partial \Psi}{\partial t} = -\frac{\hbar^2}{2m} \nabla^2 \Psi + V\Psi \rightarrow \times \Psi^*$$

$$-i\hbar \frac{\partial \Psi^*}{\partial t} = -\frac{\hbar^2}{2m} \nabla^2 \Psi^* + V\Psi^* \rightarrow \times \Psi$$

subtraindo

(-)

$$i\hbar \frac{\partial}{\partial t} (\psi^* \psi) = -\frac{\hbar^2}{2m} [\psi^* \nabla^2 \psi - \psi \nabla^2 \psi^*]$$

$$= -\frac{\hbar^2}{2m} \nabla \cdot [\psi^* \nabla \psi - \psi \nabla \psi^*]$$

Definimos então o fluxo de probabilidade, ou corrente, por

$$\mathbf{j}(x, t) = -\frac{i\hbar}{2m} [\psi^* \nabla \psi - \psi \nabla \psi^*] = \frac{\hbar}{m} \operatorname{Im}(\psi^* \nabla \psi)$$

e obtemos a equação de continuidade

$$\frac{\partial P}{\partial t} + \nabla \cdot \mathbf{j} = 0$$

= conservação da probabilidade

O fluxo de probabilidade deve estar ligado ao momento, pois se os partículas se deslocam, deve carregar consigo a probabilidade associada.

De fato vemos que

$$\int \mathbf{j}(x, t) d^3x = \frac{\hbar}{m} \operatorname{Im} \left[\int \psi^* \nabla \psi \right] = \frac{\hbar}{m} \operatorname{Im} \left[\frac{i}{\hbar} \int \psi^* p \psi dx \right]$$

$$= \frac{1}{m} \langle p \rangle_t$$

Escrivendo

$$\psi(x, t) = \sqrt{S} e^{\frac{i}{\hbar} S(x, t)}$$

vemos que

$$\psi^* \nabla \psi = \sqrt{S} e^{\frac{-is}{\hbar}} \left[\frac{1}{2\sqrt{S}} \nabla S e^{is/\hbar} + \frac{i}{\hbar} \sqrt{S} \nabla S e^{is/\hbar} \right]$$

$$= \frac{1}{2} \nabla S + \frac{i}{\hbar} S \nabla S$$

$$\Rightarrow \mathbf{j} = \frac{1}{m} S \nabla S \equiv S "w"$$

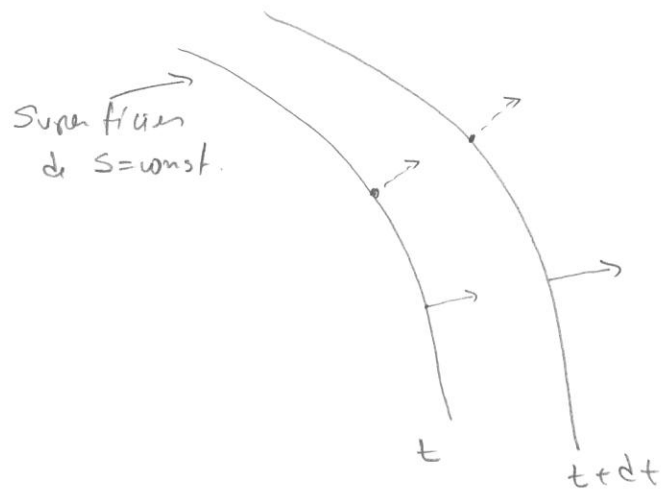
Veja que o fluxo \vec{J} está na direção da gradiente de $S(x, t)$, ou seja, é perpendicular à superfície de $S = \text{const.}$

Interpretando $\nabla S = \vec{P}$ (veja a dica) temos uma imagem dinâmica parecida com a da óptica geométrica:

$S(x, t) = a$ define uma "fronteira de onda"

$S(x, t+dt) = a$ é a fronteira de onda propagada

A "trajetória" da partícula é obtida seguindo $\vec{P} = \nabla S$, e são como "ratos de luz", perpendiculares às fronteiras de onda:



LIMITE SEMICLÁSSICO - WKB

$$iS/\hbar$$

Substituindo $\psi(x, t) = \sqrt{\rho} e^{iS/\hbar}$ na eq. de onda

obtemos:

$$\nabla^2 \psi = \nabla \cdot (\nabla \psi) = \nabla \cdot \left[\frac{1}{2\sqrt{\rho}} \nabla \rho e^{iS/\hbar} + \frac{i}{\hbar} \nabla S \sqrt{\rho} e^{iS/\hbar} \right]$$

$$= \frac{\nabla^2 \rho}{2\sqrt{\rho}} e^{iS/\hbar} + \nabla \rho \cdot \left[-\frac{e}{4\rho\sqrt{\rho}} \nabla^2 P + \frac{i}{2\hbar\sqrt{\rho}} \nabla^2 S \right]$$

$$+ \frac{i}{\hbar} \nabla^2 S \sqrt{\rho} e^{iS/\hbar} + \nabla S \cdot \left[\frac{i}{2\hbar\sqrt{\rho}} \nabla \rho e^{iS/\hbar} - \frac{1}{\hbar^2} \sqrt{\rho} \nabla^2 S \right]$$

onde usamos $\nabla \cdot (\vec{f} \vec{v}) = f \nabla \cdot \vec{v} + \vec{v} \cdot \nabla f$. Então

$$-\frac{\hbar^2}{2m} \left[\frac{1}{2\sqrt{p}} \nabla p - \frac{1}{4p\sqrt{p}} |\nabla p|^2 + \frac{i}{\hbar\sqrt{p}} \nabla p \cdot \nabla S + \frac{i\sqrt{p}}{\hbar} \nabla^2 S - \frac{\sqrt{e} |\nabla S|^2}{\hbar^2} \right] \\ + V \sqrt{p} = i\hbar \left[\frac{1}{2\sqrt{p}} \frac{\partial p}{\partial t} + \frac{i\sqrt{e}}{\hbar} \frac{\partial S}{\partial t} \right]$$

que envolve termos de ordem \hbar^2 , \hbar^1 e \hbar^0 . Supondo que \hbar é pequeno em relação às grandezas envolvidas podemos obter apenas os termos de orden \hbar^0 :

$$\boxed{\frac{1}{2m} |\nabla S|^2 + V + \frac{\partial S}{\partial t} = 0}$$

que é a Equação de Hamilton-Jacobi. A função $S(x, t)$ = função principal de Hamilton = ação clássica.

Em 1-D podemos escrever

$$S(x, t) = W(x) - Et$$

↑
função característica de Hamilton

que corresponde aos estados estacionários $e^{\frac{iW-iEt}{\hbar}}$

$$\psi(H, t) = \sqrt{g(x)} e^{\frac{iW-iEt}{\hbar}}$$

se impõmos também que ψ não depende do tempo.

Assim,

$$\frac{1}{2m} \left(\frac{\partial S}{\partial x} \right)^2 + V + \frac{\partial S}{\partial t} = 0$$

$$\downarrow$$

$$\frac{1}{2m} \left(\frac{\partial W}{\partial x} \right)^2 + V = E \rightarrow W(x) = \pm \int_{-\infty}^x \sqrt{2m(E-V(x))} dx' = \int_{-\infty}^x \rho(x') dx'$$

$$\text{Como } \frac{\partial P}{\partial t} = 0 \quad , \quad 0 = \frac{\partial}{\partial x} (j) = \frac{\partial}{\partial x} \left(\frac{i}{m} \frac{\partial S}{\partial x} \right)$$

$$\frac{i}{m} \left(\frac{\partial W}{\partial x} \right) = \frac{i}{m} \sqrt{2m(E-V(x))} = \text{const}$$

$$\sqrt{P} = \frac{\text{const}}{\sqrt{[2m(E-V(x))]^{1/2}}} = \frac{\text{const}}{\sqrt{\rho(x)}}$$

A forma explícita da função de onda estacionária vai depender das regiões espacial e temporal, mas podemos ter $V(x) < E$ ou $V(x) > E$. Omitindo

a fase temporal $e^{-iEt/\hbar}$ temos

$$\frac{i}{\hbar} \int_{-\infty}^x \rho(x') dx'$$

$$\psi(x) = \frac{C_1}{\sqrt{\rho(x)}} e^{-\frac{i}{\hbar} \int_{-\infty}^x \rho(x') dx'} + \frac{C_2}{\sqrt{\rho(x)}} e^{\frac{i}{\hbar} \int_{-\infty}^x \rho(x') dx'}$$

$$E > V(x)$$

$$+\frac{1}{\hbar} \int_{-\infty}^x |\rho(x')| dx'$$

$$\psi(x) = \frac{D_1}{\sqrt{|\rho(x)|}} e^{-\frac{1}{\hbar} \int_{-\infty}^x |\rho(x')| dx'} + \frac{D_2}{\sqrt{|\rho(x)|}} e^{\frac{1}{\hbar} \int_{-\infty}^x |\rho(x')| dx'}$$

$$E < V(x)$$

onde $|\rho(x)| = \sqrt{2m(V(x)-E)}$; $\rho(x) = \sqrt{2m(E-V(x))}$. ESSAS

formas são conhecidas como aproximação WKB para a função de onda.

Antes de tratar os casos específicos de estados ligados, 57a

notemos que os termos de orden h na eq. geral no topo da página 56 podem ser escritos como

$$-\frac{1}{m\sqrt{p}} \nabla p \cdot \nabla S - \frac{\nabla p}{m} \nabla^2 S = \frac{1}{\sqrt{p}} \frac{\partial p}{\partial t} \quad \text{ou}$$

$$\frac{\partial p}{\partial t} + \frac{1}{m} \nabla S \cdot \nabla p + \frac{1}{m} \nabla^2 S = 0$$

Lembrando que $\mathbf{j} = \frac{1}{m} \nabla S$ isso pode ser reescrito como

$$\frac{\partial p}{\partial t} + \nabla \cdot \left(\frac{1}{m} \nabla S \right) = 0 \rightarrow \frac{\partial p}{\partial t} + \nabla \cdot \mathbf{j} = 0$$

que é a equação de continuidade.

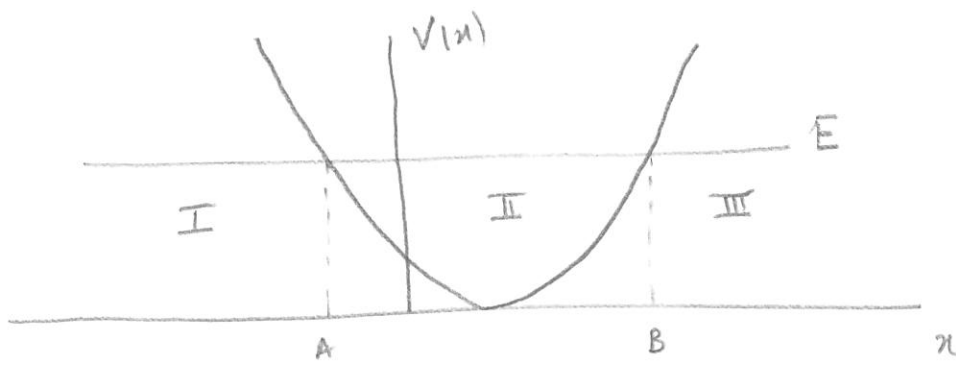
Com isso, o único termo que ficou de fora foi $-\frac{\hbar^2}{4m\sqrt{p}} \nabla^2 p$.

Esses termos podem ser incluídos no potencial fúnctio

$$V \rightarrow V - \frac{\hbar^2}{4m\sqrt{p}} \nabla^2 p \equiv V_0$$

Na equação de Hamilton-Jawobi. Ao fazer isso temos uma equação da equação de Schrödinger. O "potencial quantico" V_0 existe, identica à eq. de Schrödinger. Ele é "potencial quantico" V_0 é introduzido por Bohm, que propõe uma descrição em termos de trajetórias clássicas. Note que esse potencial depende da sua função de onda e que ele deve ser grande $|V_0| \approx \hbar^2 \rightarrow 0$.

Vamos considerar então o caso de estados ligados:



Para cada E o eixo x fica dividido em três regiões. Para que a função da onda figura fique finita em $x \rightarrow \pm\infty$ devemos ter

$$\Psi(x) = \begin{cases} \frac{D_1}{2\sqrt{|\rho(x)|}} e^{\frac{i}{\hbar} \int_{-\infty}^x |\rho(x')| dx'} & \text{em I} \\ \frac{C}{\sqrt{\rho(x)}} \cos\left(\frac{i}{\hbar} \int_{-\infty}^x \rho(x') dx' + \psi\right) & \text{em II} \\ \frac{D_2}{2\sqrt{|\rho(x)|}} e^{-\frac{i}{\hbar} \int_x^{\infty} |\rho(x')| dx'} & \text{em III} \end{cases}$$

Como essas três partes representam aproximações para uma mesma função de onda, os coeficientes D_1 , D_2 , C e ψ devem ser harmônicos relativamente, sobrando apenas uma constante independente que é obtida por normalização.

O problema é que, nos pontos de conexão $x=A$ e $x=B$, $V(x)=E$ e $\rho(x)=0$. Nesses pontos (e em suas vizinhanças) a WKB não vale.

Aproximativamente

Ainda estás em resolver a equação de Schrödinger
dinebrando para $x \approx B$ e $x \approx A$. Começamos com $x \approx B$.

Expansão

$$\begin{aligned} V(x) &= V(B) + \frac{\partial V}{\partial x}(B)(x-B) = E - F_B(x-B) ; \quad F_B < 0 \\ &= E - |F_B|(B-x) \end{aligned}$$

Então $p(x) = \sqrt{2m(E-V(x))} \approx \sqrt{2m|F_B|(B-x)}$

$$-\frac{\hbar^2}{2m} \frac{d^2\psi}{dx^2} = (E - V(x))\psi \approx F_B(B-x)$$

Acontece que essa equação tem solução exata (veja no Apêndice A final dessa seção) em termos de duas funções especiais de Airy, $A_i(x)$ e $B_i(x)$. Como $B_i(x)$ diverge p/ $x \rightarrow \pm\infty$ ficamos

com $A_i(x)$ apenas:

$$\psi(x) = C A_i(x) = \frac{C}{\sqrt{\pi}} \int_0^\infty w \cos\left(\frac{w^3}{3} - \frac{Ex}{\hbar^{2/3}}\right) dw \quad \text{onde}$$

$$y \equiv (2m|F_B|)^{1/3} (B-x)$$

Embora complicada, essa função tem comportamento assintótico simples para $y \gg 0$ ($x \ll B$, i.e., na região II) e para $y \ll 0$ (na III):

$$\psi(x) \approx \begin{cases} \frac{C}{y^{1/4}} \cos\left(\frac{2y^{3/2}}{3\hbar} - \frac{Ex}{\hbar^{2/3}}\right) & y \gg 0 \quad (x \ll B, \text{ II}) \\ \frac{C}{2} \frac{1}{|y|^{1/4}} \exp\left\{-\frac{2|y|^{3/2}}{3\hbar}\right\} & y \ll 0 \quad (x \gg B, \text{ III}) \end{cases}$$

Essas expressões têm a forma WKB. De fato veja que

$$\frac{2y}{3}^{3/2} = \frac{2}{3} (2m|F_B|)^{1/2} (B-x)^{3/2} = - \int_B^x \sqrt{2m|F_B|(B-x)} dx' = - \int_B^x p(x') dx'$$

e a forma assintótica pode ser reescrita como (veja que $\psi(x) \approx \tilde{\psi}(x)$)

$$\psi(x) = \begin{cases} \frac{C}{\sqrt{p(x)}} \cos \left(\frac{i}{\hbar} \int_B^x p(x') dx' + \pi/4 \right) & \text{em II} \\ \frac{C}{2\sqrt{|p(x)|}} \exp \left\{ -\frac{i}{\hbar} \int_B^x |p(x')| dx' \right\} & \text{em III} \end{cases}$$

Comparando com a expressão WKB vemos que

$$D_2 = C$$

$$\varphi = \pi/4$$

Vamos agora refazer essa análise para $x \approx A$ e impon

A compatibilidade das expressões na região II, comum às ambas as análises. Para $x \approx A$ temos

$$V(x) \approx V(A) + \frac{\partial V}{\partial x}(A)(x-A) = E - F_A(x-A) ; F_A > 0$$

$$p(x) = \sqrt{2m(E-V(x))} \approx \sqrt{2mF_A|x-A|}$$

$$-\frac{\hbar^2}{2m} \frac{\partial^2 \psi}{\partial x^2} = (E - V(x))\psi \approx F_A|x-A|$$

$$\psi(x) = C \tilde{\psi}(x) = \frac{C'}{\sqrt{\pi}} \int_0^\infty \cos \left(\frac{u^3}{3} - \frac{uy}{\hbar^2} \right) du$$

$$y \equiv (2mF_A)^{1/3}(x-A)$$

Normalmente vemos que $\psi(x) \sim p(x)$ e que

$$\frac{2}{3} \psi^{3/2} = \frac{2}{3} (2mE_A)^{1/2} (n-A)^{3/2} = \int_{\alpha}^A \sqrt{2mE_A(x-A)} = \int_{\alpha}^A p(x) dx .$$

Nossa região as expressões assintóticas de $\psi(x)$ são:

$$\psi(x) = \begin{cases} \frac{c'}{2|\psi|^{1/4}} \exp\left\{-\frac{2|\psi|^{3/2}}{3\hbar}\right\} & \text{em I} \\ \frac{c'}{|\psi|^{1/4}} \cos\left(\frac{2|\psi|^{3/2}}{3\hbar} - \frac{\pi}{4}\right) & \text{em II} \end{cases}$$

e obtemos

$$D_1 = C$$

$$\psi = -\pi/4$$

Em resumo, a solução WKB deve ser da forma:

$$\psi(x) = \begin{cases} \frac{c'}{2|p|^{1/2}} e^{\frac{i}{\hbar} \int_A^x |p(x)| dx} & ; \text{I} \\ \frac{c'}{\sqrt{|p(x)|}} \cos\left(\frac{i}{\hbar} \int_B^x |p(x)| dx + \pi/4\right) & ; \text{II} \\ \frac{c}{2|p(x)|^{1/2}} e^{-\frac{i}{\hbar} \int_B^x |p(x)| dx} & ; \text{III} \end{cases}$$

PARA compatibilizar as soluções na região II fizemos

$$\frac{1}{\hbar} \int_A^x p(x) dx - \frac{\pi}{4} = \underbrace{\frac{1}{\hbar} \int_A^B p(x) dx}_{\Sigma} - \frac{\pi}{2} + \frac{1}{\hbar} \int_B^x p(x) dx + \frac{\pi}{4}$$

Impõe que $\Sigma = n\pi$ temos

$$c \cos\left(\frac{1}{\hbar} \int_A^x p(x) dx - \frac{\pi}{4}\right) = c \underbrace{\cos(n\pi)}_{(-1)^n} \cos\left(\frac{1}{\hbar} \int_B^x p(x) dx + \frac{\pi}{4}\right)$$

e precisamos impor ainda que $c = c(-1)^n$. Enfim se existe

solução constante para energias En que se fazem

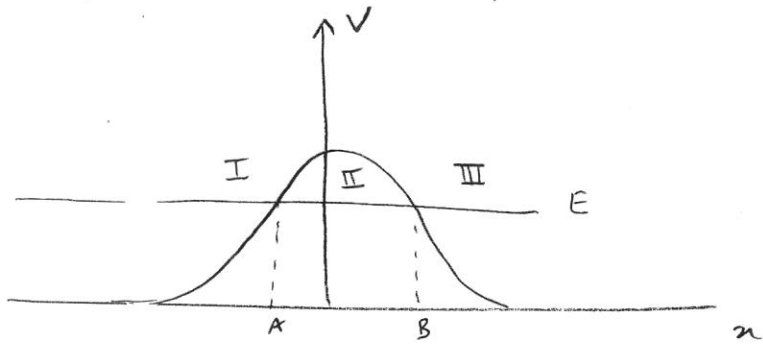
$$\boxed{\int_A^B \sqrt{2m(E-V(x))} dx = (n+1/2)\pi \hbar} \quad \begin{array}{l} \text{regra de quantização} \\ \text{Bohr-Sommerfeld.} \end{array}$$

e, para essas energias

$$\psi_n(x) = \begin{cases} \frac{c}{2\sqrt{1p1}} e^{\frac{i}{\hbar} \int_A^x |p(x)| dx} & ; \text{ em I} \\ \frac{c}{\sqrt{p\hbar}} \cos\left(\frac{1}{\hbar} \int_A^n p(x) dx - \frac{\pi}{4}\right) & ; \text{ em II} \\ \frac{(-1)^n c}{2\sqrt{1p\hbar1}} e^{-\frac{i}{\hbar} \int_B^x |p(x)| dx} & ; \text{ em III} \end{cases}$$

TUNELAMENTO

Vamos agora considerar um potencial do tipo barranco



A solução semi-clássica geral é:

$$\Psi(x) = \begin{cases} \frac{A}{\sqrt{P}} e^{\frac{i}{\hbar} \int p_m dx} + \frac{R}{\sqrt{P}} e^{-\frac{i}{\hbar} \int p_m dx} & \text{em I} \\ \frac{C}{\sqrt{|P|}} e^{\frac{i}{\hbar} \int p_l dx} + \frac{D}{\sqrt{|P|}} e^{-\frac{i}{\hbar} \int p_l dx} & \text{em II} \\ \frac{T}{\sqrt{P}} e^{\frac{i}{\hbar} \int p_m dx} & \text{em III} \end{cases}$$

Para uma onda que vem da esquerda:

Próximo do ponto B retorna B temos

$$-\frac{\hbar^2}{2m} \frac{d^2\psi}{dx^2} = F_B(x-B) \quad \text{com} \quad F_B = -\frac{\partial V}{\partial x}(B) > 0$$

A solução agora deve envolver a função $B_l(y)$ também:

$$\Psi(x) = F A_l(y) + G B_l(y) ; \quad y = (2mF_B)^{\frac{1}{3}}(B-x)$$

A função $B_l(y)$ satisfaz a mesma equação que $A_l(y)$, sendo L.I. Seu comportamento assintótico é dado por

$$B_i(y) \approx \begin{cases} \frac{1}{|y|^{\frac{1}{4}}} e^{2|y|^{\frac{3}{2}}/3} & \text{se } y > 0 \quad (\text{em II}) \\ \frac{1}{|y|^{\frac{1}{4}}} \cos\left(\frac{2}{3}|y|^{\frac{3}{2}} + \frac{\pi}{4}\right) & \text{se } y < 0 \quad (\text{em III}) \end{cases}$$

No regime III fazemos

$$\Psi_{\text{III}} = F A_i(y) + G B_i(y) \approx$$

$$\frac{F}{|y|^{\frac{1}{4}}} \sin\left(\frac{2|y|^{\frac{3}{2}}}{3} + \pi/4\right) + \frac{G}{|y|^{\frac{1}{4}}} \cos\left(\frac{2}{3}|y|^{\frac{3}{2}} + \pi/4\right) \Rightarrow \boxed{F = iG}$$

$$= \frac{G}{|y|^{\frac{1}{4}}} e^{\frac{2i}{3}|y|^{\frac{3}{2}} + i\pi/4}$$

<u>OBS</u> $A_i(y) \sim \frac{1}{ y ^{\frac{1}{4}}} \cos(u - \pi/4)$ $= \frac{1}{ y ^{\frac{1}{4}}} \cos(u + \pi/4 - \pi/2)$ $= \frac{1}{ y ^{\frac{1}{4}}} \sin(u + \pi/4)$

Vejam que, no regime III ($x > B$),

$$\frac{2}{3}|y|^{\frac{3}{2}} = \frac{2}{3}\sqrt{2mF_B} (x-B)^{\frac{3}{2}} \sim \int_B^x \sqrt{2mF_B} (x-B)^{\frac{3}{2}} dx' = \int_B^x p(x') dx'$$

No regime II fizemos com

$$\begin{aligned} \Psi_{\text{II}}(x) &= G(iA_i(y) + B_i(y)) \\ &\approx \frac{iG}{|y|^{\frac{1}{4}}} e^{-2y^{\frac{3}{2}}/3h} + \frac{G}{|y|^{\frac{1}{4}}} e^{+2y^{\frac{3}{2}}/3h} \end{aligned}$$

$$\Rightarrow \boxed{T = Ge^{\frac{i\pi}{4}}}, \quad C = G, \quad D = iG/2$$

$$\boxed{C = Te^{-i\pi/4}}$$

$$\boxed{D = \frac{1}{2}iT e^{-i\pi/4}}$$

Nas fronteiras entre as regiões I e II fazem a mesma coisa:

$$-\frac{\hbar^2}{2m} \frac{d^2\Psi}{dx^2} = F_A(x-A) = -F_A(A-x) ; \quad F_A = -\frac{\partial V}{\partial x}(x) < 0$$

$$\Psi(x) = \alpha A_i(y) + \beta B_i(y) ; \quad y = (-2mF_A)^{1/3} (A-x) \Rightarrow \begin{cases} y > 0 \Rightarrow \text{I} \\ y < 0 \Rightarrow \text{II} \end{cases}$$

$$\begin{aligned} \text{Em I} \quad \Psi(x) &\approx \frac{\alpha}{y^{1/4}} \sin\left(\frac{2y^{3/2}}{3} + i\pi/4\right) + \frac{\beta}{y^{1/4}} \cos\left(\frac{2y^{3/2}}{3} + i\pi/4\right) \\ &= \frac{(\beta - i\alpha)}{2} \frac{1}{y^{1/4}} e^{\frac{2iy^{3/2} + i\pi/4}{3}} + \frac{(\beta + i\alpha)}{2} \frac{1}{y^{1/4}} e^{-\frac{2iy^{3/2} - i\pi/4}{3}} \end{aligned}$$

$$\begin{aligned} \frac{1}{2}(\beta - i\alpha) e^{i\pi/4} &= A \\ \frac{1}{2}(\beta + i\alpha) e^{-i\pi/4} &= R \end{aligned}$$

$$\begin{aligned} \text{Em II} \quad \Psi(x) &\approx \frac{\alpha}{2|y|^{1/4}} e^{-\frac{-2|y|^{3/2}}{2\hbar}} + \frac{\beta}{|y|^{1/4}} e^{\frac{+2|y|^{3/2}}{2\hbar}} \end{aligned}$$

$$\Rightarrow \frac{\alpha}{2} = D \quad \beta = C \quad \text{com}$$

$$\begin{aligned} \frac{2}{3} |y|^{3/2} &= \frac{2}{3} \sqrt{-2mF_A} (x-A)^{3/2} = \int_A^x \sqrt{-2mF_A} (x'-A)^{1/2} dx' \\ &= \int_A^B |\rho(x')| dx' + \int_B^x |\rho(x')| dx' \Rightarrow \Delta = \int_A^B |\rho(x')| dx' \end{aligned}$$

$$\frac{\alpha}{2} e^{-\Delta/\hbar} = D = \frac{1}{2} C + e^{-i\pi/4}$$

$$\beta e^{\Delta/\hbar} = C = +e^{-i\pi/4}$$

Assim, em I termos

$$\begin{aligned}
 A &= \frac{(\beta - i\alpha)}{2} e^{i\pi/4} = \frac{1}{2} \left(T e^{-i\pi/4} e^{-\Delta/k} \right) e^{i\pi/4} - \frac{i}{2} \left(i T e^{-i\pi/4} e^{\Delta/k} \right) e^{i\pi/4} \\
 &= \frac{T}{2} e^{-\Delta/k} + \frac{T}{2} e^{\Delta/k} = T \left(\frac{e^{-\Delta/k} + e^{\Delta/k}}{2} \right) = T \sinh \Delta/k \\
 R &= \frac{(\beta + i\alpha)}{2} e^{-i\pi/4} = \frac{1}{2} \left(T e^{-i\pi/4} e^{-\Delta/k} \right) e^{-i\pi/4} + \frac{i}{2} \left(i T e^{-i\pi/4} e^{\Delta/k} \right) e^{-i\pi/4} \\
 &= -i \frac{T}{2} e^{-\Delta/k} + i \frac{T}{2} e^{\Delta/k} = -i T \left(\frac{e^{-\Delta/k} - e^{\Delta/k}}{2} \right) = -iT \sinh \Delta/k
 \end{aligned}$$

$\Rightarrow 0$ coeficientes d transmission fio

$$t = \frac{|T|^2}{|A|^2} = \frac{1}{\left(\frac{e^{\Delta/k} + e^{-\Delta/k}}{2} \right)^2} \approx 4 e^{-2\Delta/k} = 4 e^{-2 \frac{\int_A^B |P(x)| dx}{k}}$$

e o de reflexão.

$$\begin{aligned}
 r &= \frac{|R|^2}{|A|^2} = \frac{|T|^2 \left(e^{-\Delta/k} - e^{\Delta/k} \right)^2}{|T|^2 \left(e^{-\Delta/k} + e^{\Delta/k} \right)^2} = \tanh^2 \frac{\Delta}{k} \approx 1 \\
 &\approx 1 - 4 e^{-2\Delta/k} = 1 - 4 e^{-2 \frac{\int_A^B |P(x)| dx}{k}}
 \end{aligned}$$

Vejam que $t + r = 1$.

$$\left\{ \begin{array}{l} \frac{i}{\hbar} \int p(x) dx' \\ \frac{T \sinh \beta / \hbar}{\sqrt{P}} e + \frac{i T \sinh \beta / \hbar}{\sqrt{P}} e \\ -i\pi/n \quad \frac{1}{\hbar} \int |p(x')| dx' \\ \frac{T e}{\sqrt{|P|}} e + \frac{i T e}{2 \sqrt{|P|}} e \\ \frac{i}{\hbar} \int p(x) dx' \\ \frac{T}{\sqrt{P}} e \\ -\frac{1}{\hbar} \int |p(x')| dx' \\ -\frac{2}{\hbar} \int_{\Lambda}^B |p(x')| dx' \end{array} \right.$$

$$t = \frac{|T|^2}{|A|^2} = 4 e$$

Exemplos

1) $V(n) = \frac{mw^2 n^2}{2}$. Para E fixo os pts de retorno sâo

dados por $x_{\pm} = \pm \sqrt{\frac{2E}{mw^2}}$. Como a trajetória no plano $x-p$

é um elipse:

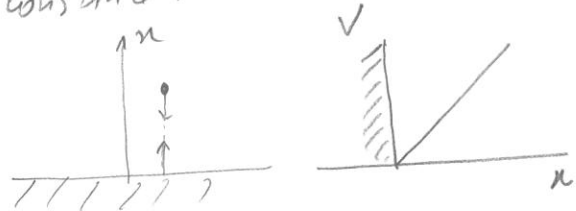
$$E = \frac{p^2}{2m} + \frac{mw^2 n^2}{2} \rightarrow \frac{p^2}{2mE} + \frac{n^2}{2E/mw^2} = 1$$

em $\int_{x_-}^{x_+} p(n, E) dx = \frac{1}{2}\pi ab = \frac{\pi}{2} \sqrt{2mE} \sqrt{\frac{2E}{mw^2}} = \frac{\pi E}{w}$

$$\frac{\pi E}{w} = (n + \frac{1}{2})\pi \hbar \rightarrow E_n = (n + \frac{1}{2})\hbar w = \text{exato}$$

2) Partícula pulando em campo gravitacional constante:

$$V(n) = \begin{cases} \infty & \text{se } x \leq 0 \\ mgx & \text{se } x > 0 \end{cases}$$



Como $\dot{\varphi}(0) = 0$ podemos considerar as soluções ímpares do problema

$V(n) = mg|x|$, Os pts de retorno sâo $x_{\pm} = \pm E/mg$ e

$$\int_{x_-}^{x_+} p(n, E) dx = 2 \int_0^{E/mg} \sqrt{2m(E - mgx)} dx = 2\sqrt{2mE} \int_0^{E/mg} \sqrt{1 - \frac{mgx}{E}} dx$$

$$= 2\sqrt{2mE} \frac{E}{mg} \underbrace{\int_0^1 \sqrt{1-y^2} dy}_{-\frac{2}{3}(1-y^2)^{3/2} \Big|_0^1} = \frac{4}{3g} \sqrt{\frac{2}{m}} E^{3/2} = (n + \frac{1}{2})\pi \hbar$$

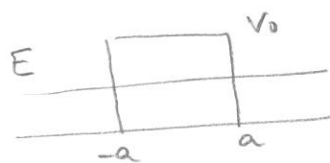
com $n = 1, 3, 5$

ou ainda

$$\frac{2}{3g} \sqrt{\frac{2}{m}} E^{\frac{3}{2}} = (n - \frac{1}{4})\pi \hbar \quad n=1, 2, 3, \dots$$

$$E_n = \left[\frac{3(n-1/4)\pi}{2} \right]^{\frac{2}{3}} \left(\frac{mg^2 \hbar^2}{2} \right)^{\frac{1}{3}}$$

3) Tunnelamento por um barreira quadrada ($E < V_0$)



$$t = 4 e^{-2 \int_{-a}^a |P(x)| dx}$$

$$\frac{P^2}{2m} + V_0 = E \quad |P| = \sqrt{(V_0 - E) 2m}$$

$$t = 4 \exp \left\{ -4a \sqrt{2m(V_0 - E)} \right\}$$

4) FUNÇÃO DE ONDA WKB P/ O OSCILADOR HARMÔNICO.

Precisamos calcular, na região II

$$I_2 = \int_B^x p(x') dx' = \int_B^x \sqrt{2m(E - \frac{mw^2 x'^2}{2})} dx' = \sqrt{2mE} \int_B^x \sqrt{1 - \frac{mw^2 x'^2}{2E}} dx'$$

FAZENDO $x' = \sqrt{\frac{2E}{mw}} \sin \theta \quad dx' = \sqrt{\frac{2E}{mw}} w \cos \theta d\theta$

$$\begin{aligned} I_2 &= \frac{2E}{w} \int_{\theta_B}^{\theta_x} w \cos \theta d\theta = \frac{E}{w} \left[\theta + \frac{\sin 2\theta}{2} \right]_{\theta_B}^{\theta_x} = \frac{E}{w} \left[\theta + \sin \theta w \theta \right]_{\theta_B}^{\theta_x} \\ &= \frac{E}{w} \left[\arcsin \left(x \sqrt{\frac{mw^2}{2E}} \right) - \arcsin \left(B \sqrt{\frac{mw^2}{2E}} \right) + x \sqrt{\frac{mw^2}{2E}} \sqrt{1 - \frac{mw^2 x^2}{2E}} - B \sqrt{\frac{mw^2}{2E}} \sqrt{1 - \frac{mw^2 B^2}{2E}} \right] \end{aligned}$$

Como $\frac{mw^2 B^2}{2} = E$,

$$I_2 = \frac{E}{w} \left[\arcsin \left(x \sqrt{\frac{mw^2}{2E}} \right) + x \sqrt{\frac{mw^2}{2E}} \sqrt{1 - \frac{mw^2 x^2}{2E}} - \frac{\pi}{2} \right]$$

NA região III A integral é:

$$\begin{aligned} I_3 &= \sqrt{2mE} \int_B^x \sqrt{\frac{mw^2 x^2}{2E} - 1} dx' , \quad \text{Fazendo agora} \quad x' = \sqrt{\frac{2E}{mw}} \sinh \theta \\ &= \frac{2E}{w} \int_{\theta_B}^{\theta_x} \sinh^2 \theta d\theta = \frac{E}{w} \left[-\theta + \sinh \theta \cosh \theta \right]_{\theta_B}^{\theta_x} \\ &= \frac{E}{w} \left[-\operatorname{arccosh} \left(x \sqrt{\frac{mw^2}{2E}} \right) + \sqrt{\frac{mw^2}{2E}} x \sqrt{\frac{mw^2 x^2}{2E} - 1} \right] \end{aligned}$$

PARA $x \gg B$, $I_3 \approx \frac{E}{w} \cdot \frac{mw^2}{2E} x^2 = \frac{mw^2 x^2}{2} = \psi(x) \propto e^{-\frac{mw^2 x^2}{2k}}$
así e o comportamento correto.

APÊNDICE-A: FUNÇÕES DE AIRY A_i e B_i

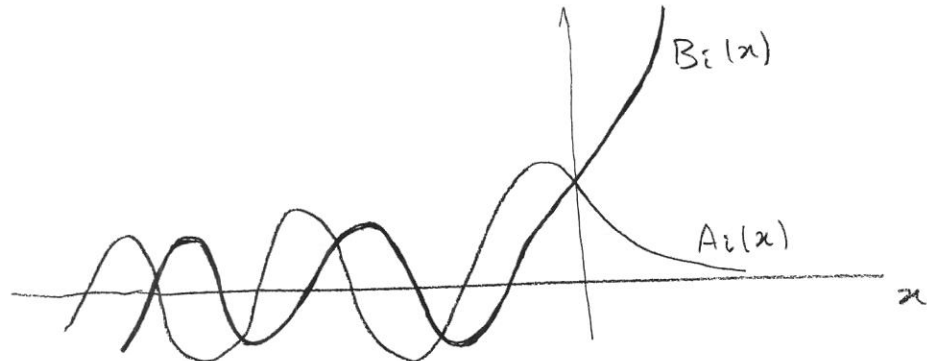
A.13

A_i e B_i são as soluções independentes da equação

$$y'' - zy = 0$$

$$y(z) = \alpha A_i(z) + \beta B_i(z)$$

O comportamento dessas funções é ilustrado abaixo:



As formas integrais são:

$$A_i(x) = \int_0^{\infty} \cos\left(\frac{t^3}{3} + xt\right) dt$$

$$B_i(x) = \int_0^{\infty} \left[e^{-\frac{t^3}{3}+xt} + \sin\left(\frac{t^3}{3}+xt\right) \right] dt$$

$$A_i(+x) \approx \begin{cases} \frac{1}{\sqrt{\pi} x^{1/4}} \sin\left[\frac{2|x|^{3/2}}{3} + \pi/4\right] & \text{p/ } x \rightarrow -\infty \\ \frac{1}{2\sqrt{\pi} x^{1/4}} e^{-\frac{2}{3}|x|^{3/2}} & \text{p/ } x \rightarrow \infty \end{cases}$$

note que $\sin(\mu + \pi/4) = \sin(\mu - \pi/4 + \pi/2) = \cos(\mu - \pi/4)$

$$B_i(x) \sim \begin{cases} \frac{1}{\sqrt{\pi}} x^{1/4} \cos \left[\frac{2\pi x^{3/2}}{3} + \frac{\pi}{4} \right] & x \rightarrow -\infty \\ \frac{1}{\sqrt{\pi}} x^{1/4} e^{\frac{2}{3}x^{3/2}} & x \rightarrow +\infty \end{cases}$$

(A2)

A equação de Schrödinger linearizada em termos do ponto de retorno P é dada por

$$-\frac{\hbar^2}{2m} \frac{d^2\psi}{dx^2} = (E - V(P) - V'(P)(x-P)) \psi = -V'(P)(n-i)\psi(x)$$

ou

$$\psi'' - \frac{2mV'(P)}{\hbar^2}(x-P)\psi = 0$$

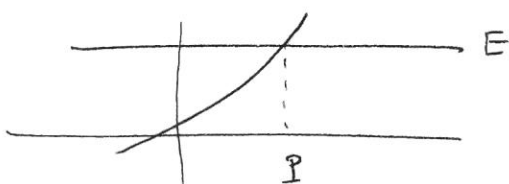
Fazendo $y \equiv a(x-P)$ obtemos

$$\frac{d^2\psi}{dy^2} - \frac{2mV'(P)}{a^2\hbar^2} \cdot \frac{y}{a} \psi = 0$$

Escolhendo $\frac{2mV'(P)}{\hbar^2} = a^3$ e supondo $V'(P) > 0$ obtemos

$$\frac{d^2\psi}{dy^2} - y \psi = 0 \quad y = \left(\frac{2mV'(P)}{\hbar^2}\right)^{1/3}(x-P)$$

$$\psi(x) = \alpha A_i(y) + \beta B_i(y) = \alpha A_i\left(\left(\frac{2mV'}{\hbar^2}\right)^{1/3}(x-P)\right) + \beta B_i\left(\left(\frac{2mV'}{\hbar^2}\right)^{1/3}(x-P)\right)$$



(A3)

Quando os argumentos são negativos as funções oscilam. Isso

ocorre para $x < P$:

$$\psi(x) \approx \frac{\alpha}{\sqrt{\pi} |y|^{1/4}} \sin\left(\frac{2|y|^{3/2}}{3} + \pi/4\right) + \frac{\beta}{\sqrt{\pi} |y|^{1/4}} \cos\left(\frac{2|y|^{3/2}}{3} + \pi/4\right) \quad \text{p/ } x < P \\ \text{ou } y < 0$$

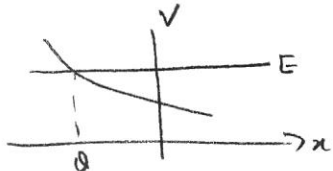
Note que $\sin(3 + \pi/4) = \sin(3 - \pi/4 + \pi/2) = \cos(3 - \pi/4)$, portanto
o primeiro termo tb. pode ser escrito com $\frac{\alpha}{\sqrt{\pi} |y|^{1/4}} \cos\left(\frac{2|y|^{3/2}}{3} - \pi/4\right)$ e

$$|y|^{1/2} = \frac{(2mV(x))^{1/2}}{\hbar} (P-x)^{3/2}$$

PARA $x > P$ temos

$$\psi(x) \approx \frac{\alpha}{2\sqrt{\pi} y^{1/4}} e^{-\frac{2}{3} y^{3/2}} + \frac{\beta}{\sqrt{\pi} y^{1/4}} e^{\frac{2}{3} y^{3/2}} ; \quad y^{3/2} = \frac{\sqrt{2mV(P)}}{\hbar} (x-P)^{3/2}$$

Se expandirmos em torno de um ponto Q onde $V'(Q) < 0$,



a equação fina $\frac{d^2\psi}{dx^2} - k^2 \psi = 0$ e $k^2 = -\frac{2mV'(Q)}{\hbar^2}$

$$k = a(Q-x)$$

Nessas condições:

Se $x > Q$, $y < 0$ e

$$\Psi(x) \approx \frac{\alpha}{\sqrt{\pi} |y|^{1/4}} \sin \left(\frac{2|y|^{3/2}}{3} + \pi/4 \right) + \frac{\beta}{\sqrt{\pi} |y|^{1/4}} \cos \left(\frac{2|y|^{3/2}}{3} + \pi/4 \right); |y| = \frac{\sqrt{-2mV(x)}}{\hbar} (x-Q)^{3/2}$$

Se $x < Q$, $y > 0$

$$\Psi(x) \approx \frac{\alpha}{2\sqrt{\pi} y^{1/4}} e^{-\frac{2}{3} y^{3/2}} + \frac{\beta}{\sqrt{\pi} y^{1/4}} e^{+\frac{2}{3} y^{3/2}}; y^{3/2} = \frac{\sqrt{-2mV(x)}}{\hbar} (Q-x)^{3/2}$$

Finalmente, vamos resolver a equação de Schrödinger

$$-\frac{\hbar^2}{2m} \frac{\partial^2 \Psi}{\partial x^2} = -V(x_0)(x-x_0) \Psi(x)$$

Não representamos o momento $-i\hbar \frac{\partial}{\partial x} \rightarrow p$ e $x \rightarrow i\hbar \frac{\partial}{\partial p}$:

$$\frac{p^2}{2m} \Psi(p) = -V(x_0) \left(i\hbar \frac{\partial}{\partial p} - x_0 \right) \Psi(p) \quad \text{ou}$$

$$\left(\frac{p^2}{2m} - V(x_0)x_0 \right) \Psi(p) = -i\hbar V(x_0) \frac{\partial \Psi}{\partial p} \quad \text{com } p^3 + ip^2$$

A solução dessa equação é da forma $\Psi(p) = \bar{A} e^{i\phi p^3 + ip^2}$, pois

$$\frac{\partial \Psi}{\partial p} = (3ip^2 + ip) \Psi$$

$$\frac{p^2}{2m} - V(x_0)x_0 = -i\hbar V(x_0) (3ip^2 + ip) \quad \circ \quad \text{que leva à}$$

$$\boxed{\alpha = \frac{1}{6m\hbar^2 V(x_0)}} \quad \boxed{\beta = -x_0/\hbar}$$

(A5)

Na reprezentatie der voorwaarden terug

$$\psi(x) = \frac{1}{\sqrt{2\pi\hbar}} \int_{-\infty}^{+\infty} \psi(p) e^{ipx/\hbar} dp = A \int_{-\infty}^{+\infty} e^{ip^3/\hbar + \frac{ip}{\hbar}(x-x_0)} dp$$

fazend $(3\alpha)^{1/3} p = t$

$$\psi(x) = A \int_{-\infty}^{+\infty} e^{it^3/3 + \frac{it(x-x_0)}{\hbar(3\alpha)^{1/3}}} dt$$

chamend $y = \frac{x-x_0}{\hbar(3\alpha)^{1/3}} = \left(\frac{2mV(x_0)}{\hbar^2}\right)^{1/3} (x-x_0)$

$$\psi(x) = A \int_{-\infty}^{+\infty} e^{it^3/3 + ity} dt = 2A \int_0^{\infty} \cos(t^3/3 + ty) dt$$